

Complex K3 surfaces containing Levi-flat hypersurfaces

小池 貴之

京都大学

2017 年 9 月 12 日

1 主結果

2 近傍理論からの動機

3 証明について

1 主結果

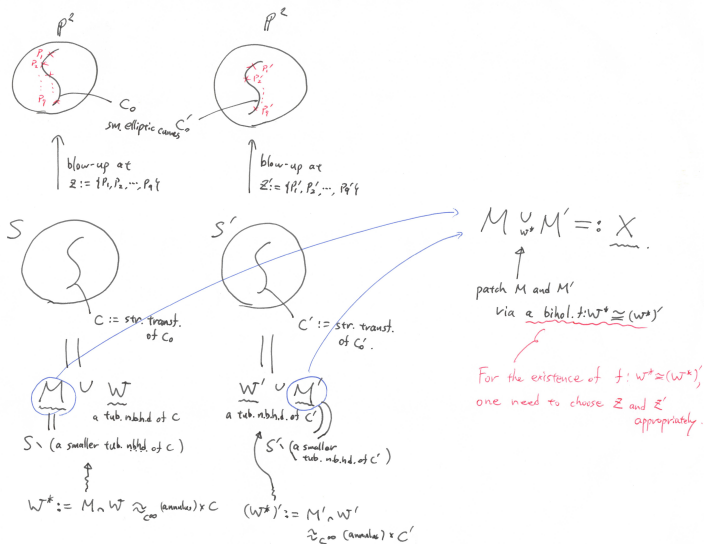
2 近傍理論からの動機

3 証明について

本講演の目標:

K3 曲面 X を, 二つの開複素曲面 M 及び M' を正則に貼り合わせることで構成する.

- M (M') は, \mathbb{P}^2 の適切な 9 点での爆発 S (S') に含まれる開部分多様体として得られる. 具体的には, M (M') は, S (S') のある楕円曲線の近傍の補集合.
- S も S' も, 所謂 “general” な方の 9 点配置から得られるものであり, つまり楕円曲面では**ない**.
- M と M' とを正則に貼り合わせるためには, 楕円曲線の近傍を巧く選ばなければならない. そのために, 9 点配置を適切に選ぶ必要がある.
- そのために, “よい近傍” の存在についての, 複素力学系由来の手法を応用する (Arnol'd の定理).



補足と先行研究

- S, S' が楕円曲面であるような場合には、同様の K3 曲面の構成が知られている。このとき出来上がった K3 曲面も楕円曲面となる。
- 土井氏による先行研究によれば、任意の Z 及び Z' から、 M, M' の微小な複素構造の変形を許せば K3 曲面が貼り合わせで構成できる。

(Doi, Mamoru, Gluing construction of compact complex surfaces with trivial canonical bundle. J. Math. Soc. Japan 61 (2009), no. 3, 853–884)

- Arnol'd 型の定理を用いた貼り合わせ構成の手法は、辻氏による先行研究でも用いられており、それによって $S^3 \times S^3$ の複素構造について研究がなされている。

(H. Tsuji, Complex structures on $S^3 \times S^3$, Tohoku Math. J. (2) Volume 36, Number 3 (1984), 351–376)

主結果

K3 曲面の構成を, 独立な 18 個のパラメータを許容する形で行った. その構成の結果として, 以下を得る:

Theorem (K-, arXiv:1703.03663)

18 次元の多様体 B 上の K3 曲面の変形空間 $\pi: \mathcal{X} \rightarrow B$ として, Kodaira-Spencer 写像が単射であり, かつ各ファイバー $X_b := \pi^{-1}(b)$ が以下のような正則写像 $F_b: \mathbb{C} \rightarrow X_b$ を持つようなものが存在する: 像 $F_b(\mathbb{C})$ の Euclidean な閉包は X_b のコンパクトなレビ平坦曲面. 特に $F_b(\mathbb{C})$ は Zariski 位相では稠密だが, Euclidean 位相では稠密でない. また general な $b \in B$ では, X_b は Kummer 曲面ではない.

尚, $F_b(\mathbb{C})$ の Euclidean な閉包は, $S^1 \times S^1 \times S^1$ に微分同相である.

最近の上原崇人氏との共同研究で, 先述の構成で得られる K3 曲面に対し, K3 格子の 22 個の生成元をサイクルとして具体的に記述した. さらに, 内 20 個のサイクルについて, nowhere vanishing な正則 2-form σ の積分値を具体的に計算することに成功し, その結果として主結果は以下のように改良できた:

Theorem (K-, Uehara (in progress))

19 次元の多様体 B 上の K3 曲面の変形空間 $\pi: \mathcal{X} \rightarrow B$ として, Kodaira-Spencer 写像が単射であり, かつ各ファイバー $X_b := \pi^{-1}(b)$ が以下のような正則写像 $F_b: \mathbb{C} \rightarrow X_b$ を持つようなものが存在する: 像 $F_b(\mathbb{C})$ の Euclidean な閉包は X_b のコンパクトなレビ平坦曲面. 特に $F_b(\mathbb{C})$ は Zariski 位相では稠密だが, Euclidean 位相では稠密でない. また general な $b \in B$ では, X_b は Kummer 曲面ではなく, **射影的でもない**.

1 主結果

2 近傍理論からの動機

3 証明について

- S : 非特異な曲面
- C : S に正則に埋め込まれた楕円曲線であって,
 $(C^2) := \deg N_{C/S} = c_1(N_{C/S}) = 0$ なるもの.

S 中 C は, 管状近傍 W をもつ (管状近傍定理). W は, $N_{C/S}$ のゼロ切断のある近傍に 微分同相 だが, 双正則とは限らない.

興味

いつ C は 正則管状近傍 を持つか? つまり, いつ W は $N_{C/S}$ のゼロ切断のある近傍に双正則なるものとしてとれるか?

特に興味のある例:

滑らかな楕円曲線 $C_0 \subset \mathbb{P}^2$ を固定し, その上の 9 点配置 $Z := \{p_1, p_2, \dots, p_9\} \subset C_0$ を考える.

- $S := \text{Bl}_Z \mathbb{P}^2 \xrightarrow{\pi} \mathbb{P}^2$: Z での爆発
- $C := \pi_*^{-1} C_0$: C_0 の強変換

ここで $N_{C/S} \cong \mathcal{O}_{\mathbb{P}^2}(3)|_{C_0} \otimes \mathcal{O}_{C_0}(-p_1 - p_2 - \dots - p_9)$ である. 特に Z を変えると $N_{C/S}$ は $\text{Pic}^0(C)$ のどの値をもとり得る.

Question

この例で, C はいつ正則管状近傍を持つか?

Theorem (Arnol'd (1976))

一般に非特異曲面 S に埋め込まれた楕円曲線 C は,
 $N_{C/S} \in \text{Pic}^0(C)$ が Diophantine である (つまり, $\exists A, \alpha > 0$ such
 that $\text{dist}(\mathbb{I}_C, N_{C/S}^{\otimes n}) \geq A \cdot n^{-\alpha}$ for $\forall n > 0$, ここで dist は $\text{Pic}^0(C)$
 の Euclidean な距離). このとき C は正則管状近傍を持つ.

Question

先ほどの 9 点爆発の例 $(C_0, Z = \{p_1, p_2, \dots, p_9\}, C, S)$ で,
 $N_{C/S} \in \text{Pic}^0(C)$ が Diophantine でない場合には, C は正則管状近
 傍を持つか?

1 主結果

2 近傍理論からの動機

3 証明について

$(C_0, Z = \{p_1, p_2, \dots, p_9\}, C, S)$ 及び
 $(C'_0, Z' = \{p'_1, p'_2, \dots, p'_9\}, C', S')$ を, 先述の 9 点爆発の例として,
 以下を満たすものとする:

条件

- $\exists g: C \cong C'$
- $N_{C/S} = g^* N_{C'/S'}^{-1}$
- $N_{C/S} \in \text{Pic}^0(C)$ は Diophantine

このとき, Arnol'd の定理から, C の正則管状近傍 $W \subset S$ 及び C' の正則管状近傍 $W' \subset S'$ が存在する.

二つ目の条件と “正則管状近傍” 性から,

- $M := S \setminus \overline{(W \text{ 中レビ平坦な境界を持つ } C \text{ の近傍})}$
- $M' := S' \setminus \overline{(W' \text{ 中レビ平坦な境界を持つ } C' \text{ の近傍})}$

は正則に貼り合って, コンパクト複素曲面 X が出る.

“ $F_b: \mathbb{C} \rightarrow X$ ” の存在について

W^* を M と M' との “のりしろ” とする. W^* は W や W' の中の, 二つのレヴィ平坦超曲面で囲まれた領域と見做せる. W^* は (従って X も) 主結果の主張の様な \mathbb{C} からの正則写像を許容する.

 X が K3 なることの証明の概略

次を用いる:

Key Lemma

$$H^0(W^*, \mathcal{O}_{W^*}) = \mathbb{C}.$$

S (S') 上には, meromorphic 2-form η (η') として, $\text{div}(\eta) = -C$ ($\text{div}(\eta') = -C'$) なるものが存在する. Key Lemma から, η 及び η' の具体的な形が, “のりしろ” W^* 上で記述できる. このことから, 適切な正規化の下で $\eta|_M$ と $\eta'|_{M'}$ とは, W^* 上貼り合って, X 上に nowhere vanishing な正則 2-form σ を定めることが分かる.

また, 位相幾何学的な (簡単な) 議論から $\pi_1(X) = 0$ が分かり, 従って X が K3 曲面であることが分かる.

lattice	cycle	$\frac{1}{2\pi\sqrt{-1}} \int \sigma$	corresponding parameter
U	$A_{\beta,\gamma}$	τ	choice of C_0 (and C'_0)
	B_α	???	choice of w_j 's (R, R', \dots)
U	$A_{\gamma,\alpha}$	1	—
	B_β	???	choice of w_j 's (R, R', \dots)
$E_8(-1)$	$C_{1,2}$	" $p_2 - p_1$ " in C	choice of $p_2 - p_1$
	$C_{2,3}$	" $p_3 - p_2$ " in C	choice of $p_3 - p_2$
	\vdots	\vdots	\vdots
	$C_{7,8}$	" $p_8 - p_7$ " in C	choice of $p_8 - p_7$
	$C_{6,7,8}$	" $p_6 + p_7 + p_8$ " in C	choice of $p_6 + p_7 + p_8$
$E_8(-1)$	$C'_{1,2}$	" $p'_2 - p'_1$ " in C'	choice of $p'_2 - p'_1$
	$C'_{2,3}$	" $p'_3 - p'_2$ " in C'	choice of $p'_3 - p'_2$
	\vdots	\vdots	\vdots
	$C'_{7,8}$	" $p'_8 - p'_7$ " in C'	choice of $p'_8 - p'_7$
	$C'_{6,7,8}$	" $p'_6 + p'_7 + p'_8$ " in C'	choice of $p'_6 + p'_7 + p'_8$
U	$A_{\alpha,\beta}$	$a_\beta - \tau \cdot a_\alpha$	choice of p_9 and p'_9 (i.e. $N_{C/S}$ and $N_{C'/S'}$)
	B_γ	" $p'_9 - g(p_9)$ "	choice of $g: C \cong C'$